## ОЦЕНКА ТОЧНОСТИ ИЗМЕРЕНИЯ ПЕРЕМЕЩЕНИЯ ТОЧЕЧНОГО И ЛИНЕЙНОГО ИСТОЧНИКА СВЕТА ЦЕНТРОИДАЛЬНЫМИ АЛГОРИТМАМИ

## В. И. Замятин, С. А. Отморский

Алтайский государственный технический университет им. И. И. Ползунова г. Барнаул

Развитие микро- и нанометрических технологий предъявляет весьма жесткие требования к точности измерения перемещений узлов механизмов, машин и приборов и требует создания новых типов датчиков перемещений, имеющих невысокую цену, небольшие размеры и обладающих высокой разрешающей способностью и точностью. Датчики и измерители малых перемещений и колебаний являются составными частями многих современных прецизионных автоматизированных и измерительных устройств, используются при производстве специализированных станков и научных приборов, широко применяются в таких областях как робототехника, строительство, машиностроение, производство печатных плат, промышленная техника измерения и регулирования, приборостроение и многих других областях науки и техники.

Измерение координаты световой линии на фоточувствительной поверхности матрицы в условиях низкого отношения сигнал/шум существенно уменьшает погрешности приборов. Измерительный прибор реализуется на серийных видеокамерах или фотоаппаратах и светового шнура, выполняющего роль источника излучения, в форме линии. Цифровая обработка видеоинформации позволяет отбрасывать результаты грубых промахов в строках изображения, вводить весовые коэффициенты для каждого вычисления координаты в строке, что повышает помехоустойчивость измерений.

Изображения, получаемые фоточувствительной матрицей, генерировались средствами трехмерного моделирования. Моделировались точечный источник излучения и световой шнур [1]. Применялись следующие виды алгоритмов вычисления координаты источника излучения на фоточувствительной поверхности матрицы.

1. Центроидальный алгоритм вычисления координаты  $X_c$  в строке с максимальной амплитудой видеосигнала:

$$X_{c} = \frac{\sum_{k=-n}^{n} A_{x_{m-k}} \times X_{m-k}}{\sum_{k=-n}^{n} A_{x_{m-k}}}$$

где  $X_{m-k}$  – координата центра ячейки по оси X, амплитуда которой равна  $A_{Xm-k}$ ; n – количество ячеек, используемых для вычислений [2].

Гистограмма строки видеосигнала должна соответствовать нормальному закону распределения энергии излучения.

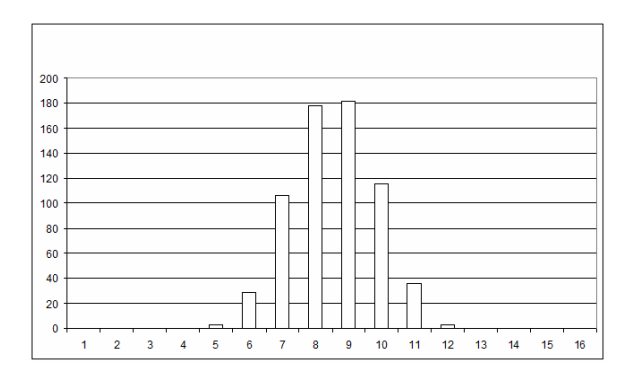


Рисунок 1 – гистограмма строки видеосигнала

Нелинейность пеленгационной характеристики составила 0,03 пикселя.

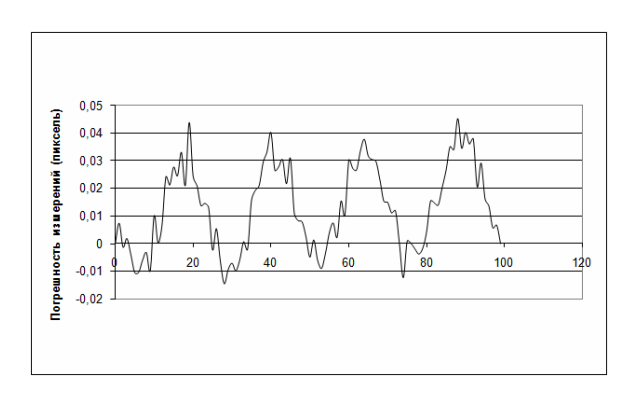


Рисунок 2 — Нелинейность пеленгационной характеристики центроидального алгоритма вычисления координаты  $X_c$ . Отношение сигнал/шум 160

2. Центроидальный алгоритм со сложением амплитуд нескольких строк видеосигнала

$$X_{c} = \frac{\sum_{k=-n}^{n} A_{x_{m-k}} \times X_{m-k}}{\sum_{k=-n}^{n} A_{x_{m-k}}},$$

где 
$$A_{x_{m-k}} = (\sum_{i=-p}^p A_i)/p$$
 — сумма амплитуд

строк выше и ниже строки с максимальной амплитудой p – количество строк [2].

Алгоритм позволяет уменьшить систематическую и случайную составляющие погрешности в  $\sqrt{p}$  раз.

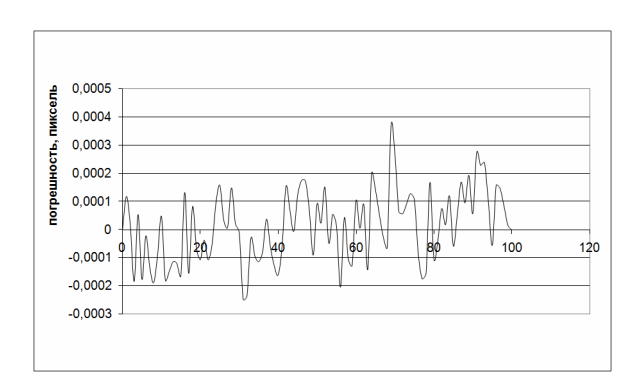


Рисунок 3 — Нелинейность пеленгационной характеристики центроидального алгоритма со сложением амплитуд нескольких строк видеосигнала. Отношение сигнал/шум 160, число строк 4000

3. Центроидальный алгоритм со сложением амплитуд нескольких строк с учетом весовых коэффициентов

$$X_{c} = \frac{\sum_{k=-n}^{n} A_{x_{m-k}} \times X_{m-k}}{\sum_{k=-n}^{n} A_{x_{m-k}}},$$

где 
$$A_{x_{m-k}} = \sum_{i=-p}^{p} A_i \times (A_i / A_{sum});$$

$$A_{sum} = \sum_{i=-p}^{p} A_i ;$$

где  $A_i$  – амплитуды ячеек строк выше и ниже строки с максимальной амплитудой

Нелинейность пеленгационной характеристики во всех случаях определялась алгоритмической погрешностью [2].

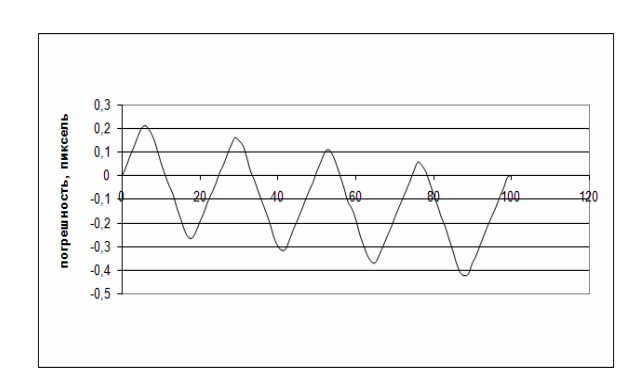


Рисунок 4 – Алгоритмическая погрешность

Погрешность алгоритма снижалась при обработке  ${\it N}$  строк.

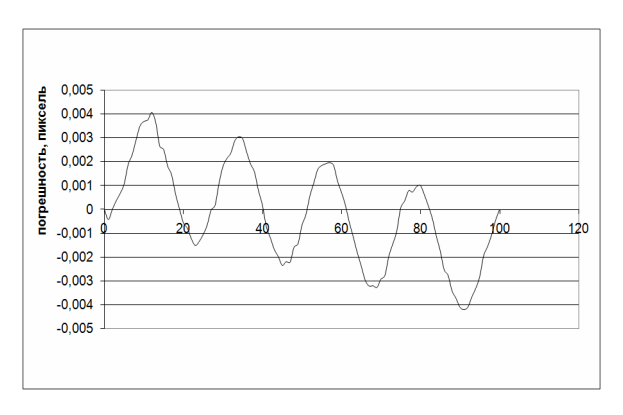


Рисунок 5 — Погрешность центроидального алгоритма со сложением амплитуд нескольких строк с учетом весовых коэффициентов при использовании 4000 строк, отношение сигнал/шум 160

4. Центроидальный алгоритм со сложением координат источника излучения в нескольких строках

$$X_c = (\sum_{i=-p}^p X_i)/p$$

где 
$$X_i = \sum_{k=-n}^n A_{x_{m-k}} imes X_{m-k} \ / \sum_{k=-n}^n A_{x_{m-k}}$$
 ,  $X_{m-k}$  —

координата центра ячейки по оси X в строке i , амплитуда которой равна  $A_{X_{m-k}}$  ; p — количество строк.

Погрешность измерения координаты линии при отношении сигнал/шум 3 уменьшилась в  $\sqrt{p}$  раз [2].

Применение статистических методов обработки видеоинформации в приборах контроля координат излучения позволяет улучшить метрологические характеристики в широком диапазоне работы.

ПОЛЗУНОВСКИЙ АЛЬМАНАХ №1 2011

## ОЦЕНКА ТОЧНОСТИ ИЗМЕРЕНИЯ ПЕРЕМЕЩЕНИЯ ТОЧЕЧНОГО И ЛИНЕЙНОГО ИСТОЧНИКА СВЕТА ЦЕНТРОИДАЛЬНЫМИ АЛГОРИТМАМИ

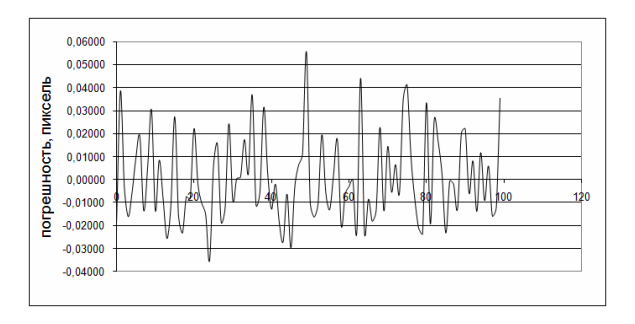


Рисунок 6 – Случайная составляющая результатов измерений для отношения сигнал/шум 3

## СПИСОК ЛИТЕРАТУРЫ

- 1. Замятин В.И. Моделирование приборов контроля перемещения источника излучения на фоточувствительной матрице/ В.И. Замятин, С.А. Отморский// Измерение, контроль, информатизация. Барнаул, 2010.
- 2. Замятин В.И. Центроидальные алгоритмы контроля координаты точечного источника излучения на основе светочувствительной матрицы/ В.И. Замятин, С.А. Отморский// Измерение, контроль, информатизация. Барнаул, 2010.